

# Температура сверхпроводящего перехода в гафнии при давлениях до 64 ГПа

*И. О. Башкин<sup>1)</sup>, М. В. Нефедова, В. Г. Тиссен, Е. Г. Понятовский*

*Институт физики твердого тела РАН, 142432 Черноголовка, Московская обл., Россия*

Поступила в редакцию 11 октября 2004 г.

После переработки 27 октября 2004 г.

**Измерены температуры сверхпроводящих переходов  $T_c$  гафния в зависимости от давления до 64 ГПа. Обнаружено, что характер зависимости  $T_c$  от давления при  $\alpha-\omega-\beta$  переходах в Hf существенно тот же, что и для Zr. В областях  $\alpha$ -и  $\beta$ -фаз  $T_c$  возрастает с наклонами  $dT_c/dP = 0.05$  и  $0.16$  К/ГПа, соответственно. При  $\alpha-\omega$  переходе  $T_c(P)$  имеет тенденцию к уменьшению, а при  $\omega-\beta$  переходе величина  $T_c$  скачком возрастает от 5.8 до 8.0 К. Переход  $\alpha-\omega$  происходит при давлении между 31.2 и 35.9 ГПа, давление  $\omega-\beta$  перехода составляет  $62 \pm 2$  ГПа.**

PACS: 64.70.Kb, 74.62.-c, 74.62.Fj

**1. Введение.** Переходные металлы IV группы Ti, Zr и Hf при нормальных условиях имеют гексагональную плотноупакованную структуру (ГПУ  $\alpha$ -фаза), а под давлением все три элемента претерпевают полиморфные переходы [1]. Титан переходит вначале в гексагональную  $\omega$ -фазу, а при  $P \geq 116$  ГПа – в  $\gamma$ -и  $\delta$ -фазы с орторомбической структурой [2, 3]. Последовательность структурных переходов  $\alpha-\omega-\beta$ , включающая объемноцентрированную кубическую (ОЦК)  $\beta$ -фазу, была впервые обнаружена для Zr [4], а вскоре ее наблюдали и в Hf [5]. Для Zr давление  $\omega-\beta$  перехода находится в пределах от 30 [6] до 33 ГПа [4], а для Hf определено значение  $P = 71$  ГПа [5]. Последовательность переходов  $\alpha-\omega-\beta$  была корректно описана в результате теоретических расчетов устойчивости структур под давлением [7–9], в которых изменения структур связываются с  $s-d$  переносом электронов и увеличением заполнения  $d$ -зоны. Измерения температур сверхпроводящих переходов  $T_c$  в интервале давлений до 48 ГПа продемонстрировали скачкообразное увеличение  $T_c$  циркония при  $\omega-\beta$  переходе [10]. Акахама и др. [6] отметили также близость величин  $T_c$  и удельных объемов ОЦК ниобия при атмосферном давлении и  $\beta$ -Zr при  $P = 30$  ГПа и объяснили эти факты увеличением заполнения  $d$ -зоны до величины, свойственной элементам V группы.

Позднее были проведены структурные измерения и измерения  $T_c$  под давлением для ряда двойных сплавов Zr–Ti [11, 12] и Zr–Hf [13]. Во всех исследованных сплавах  $T_c$  тоже возрастала скачком при  $\omega-\beta$  переходе. Кривые изобарических зависимостей  $T_c$  от состава, построенные по экспериментальным данным

при высоких давлениях, своей куполообразной формой оказались подобными аналогичным кривым для сплавов IV–V групп при атмосферном давлении [14].

Сходство в поведении структур Zr и Hf под давлением в рамках идеи о межзонном переносе электронов под давлением позволяло ожидать, что зависимость  $T_c$  от давления для гафния будет аналогична той, что ранее наблюдали для циркония. Экспериментально для Hf поведение  $T_c$  с давлением вплоть до  $\omega-\beta$  превращения ранее не исследовали. В настоящей работе измерена зависимость  $T_c$  гафния от давления до 64 ГПа, и на зависимости  $T_c(P)$  обнаружены аномалии, которые мы связываем с  $\alpha-\omega-\beta$  структурными переходами.

**2. Методика.** Металлический Hf для исследований был приготовлен переплавом прутка иодидного Hf в вакууме зонной плавкой. Чистота исходного металла была не ниже 99.95 ат. %, включая примеси внедрения. Образцы изготавливали шлифовкой стружки, нарезанной из исходного металла, до толщины  $\sim 0.02$  мм.

Для создания высоких давлений использовали аппарат с алмазными наковальнями, изготовленный из немагнитных материалов [15]. Измерительная ячейка с примерным сохранением масштаба показана на рис.1. Измерительная катушка смонтирована симметрично вокруг наковален, компенсирующая катушка расположена в одной плоскости с измерительной на расстоянии около 1 мм, вторичные обмотки включены навстречу. Диаметр рабочей площадки наковален около 0.4 мм. Образец и кристаллы рубинового эталона помещали между наковальнями в отверстие металлической прокладки диаметром 0.12 мм. Передающей давление средой служила смесь мета-

<sup>1)</sup>e-mail: bashkin@issp.ac.ru

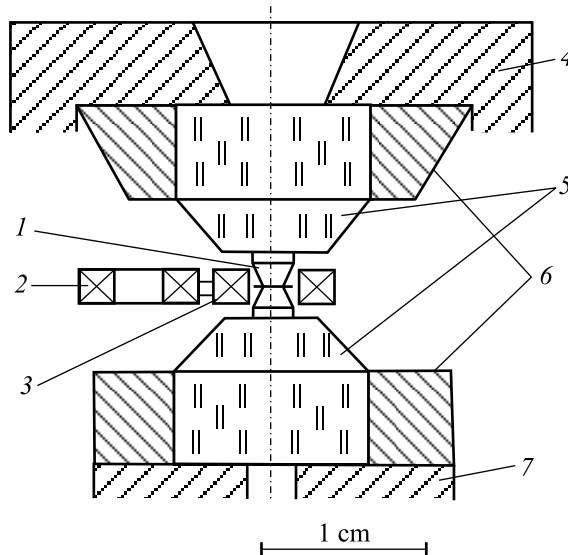


Рис.1. Рабочая ячейка аппарата с алмазными наковальнями. 1 – алмазные наковальни, 2 – компенсирующая катушка, 3 – измерительная катушка, 4 – цилиндр пресса, 5 – сапфировые опоры, 6 – поддерживающие кольца, 7 – поршень пресса

нол – этанол в соотношении 4:1. Определение давления по смещению люминесцентной линии рубина с точностью  $\pm 0.05$  ГПа осуществляли после низкотемпературных измерительных циклов и отогрева пресса до комнатной температуры.

Сверхпроводящие переходы фиксировали как аномалии на температурной зависимости магнитной восприимчивости  $\chi(T)$ , измеряемой на переменном токе частотой 5.2 кГц при отогреве образца от минимальной температуры. Минимальная температура, равная 1.3 К, достигалась вакуумной откачкой гелия из криостата с погруженным в него аппаратом высокого давления. Для измерений температуры с точностью  $\pm 0.2$  К использовали термопару (Cu – Fe) – Cu.

Значения  $T_c$  определяли как точки пересечения между касательной к участку крутого падения кривой  $\chi(T)$  и продолжением ее высокотемпературного горизонтального участка.

**3. Результаты.** На рис.2 представлены типичные кривые магнитной восприимчивости  $\chi(T)$ , измеренные при нагреве в различных интервалах давления, а на рис.3 экспериментальные данные показаны в виде зависимости  $T_c(P)$ .

При атмосферном давлении Hf имеет  $T_c = 0.128$  К [1], что значительно ниже предела наших измерений. В первый раз аномалия на кривой  $\chi(T)$ , свидетельствующая о начале сверхпроводящего перехода, была зафиксирована при давлении 31.2 ГПа. При следующем давлении, 35.9 ГПа, сверх-

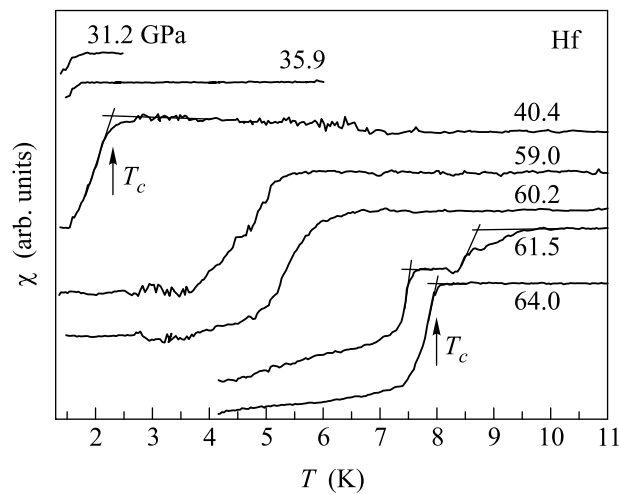


Рис.2. Кривые магнитной восприимчивости  $\chi(T)$ , измеренные в процессе нагрева при указанных значениях давлений. Геометрические построения иллюстрируют графическое определение  $T_c$

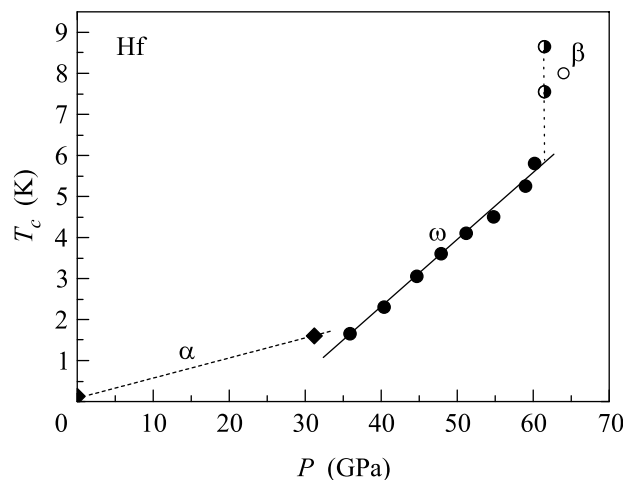


Рис.3. Зависимость температуры сверхпроводящего перехода в Hf от давления. Маркировка точек отражает разные фазовые состояния Hf (см. текст)

проводящий переход также находился близ нижней границы диапазона измерений. В дальнейшем в интервале  $P = 40 - 60.2$  ГПа на кривых  $\chi(T)$  фиксировались как начало, так и конец сверхпроводящего перехода. При всех давлениях из этого диапазона сверхпроводящий переход растянут по температуре на интервал  $\sim 1$  К. Определенные, как указано выше, точки переходов в интервале от 35.9 до 60.2 ГПа на рис.3 в пределах точности измерений ложатся на одну прямую с наклоном  $dT_c/dP = 0.16 \pm 0.01$  К/ГПа. Согласно рентгеноструктурным данным [5],  $\alpha - \omega$  переход в Hf происходит в интервале  $38 \pm 8$  ГПа. Поэтому очевидно, что линейная зависимость в интервале 35.9 – 60.2 ГПа отражает поведение темпе-

ратуры сверхпроводящего перехода в  $\omega$ -Hf. Точка, фиксируемая при 31.2 ГПа, далеко отклоняется от этой зависимости и, очевидно, представляет повышающуюся температуру сверхпроводящего перехода в  $\alpha$ -Hf. В таком случае для  $\alpha$ -Hf наклон  $dT_c/dP \approx 0.05$  К/ГПа. Если исходить из данных на рис.3, структурное  $\alpha - \omega$  превращение в Hf происходит в интервале между 31.2 и 35.9 ГПа. Таким образом, наблюдаемые нами давление и интервал  $\alpha - \omega$  перехода в Hf заметно меньше, чем в структурном исследовании [5], но узкий интервал этого перехода находится в лучшем соответствии с аналогичными данными для Zr [4, 6, 10] и сплавов Zr-Ti и Zr-Hf [11–13].

При более высоких давлениях аномалия  $\chi(T)$  значительно изменяется. Двухступенчатая форма скачка  $\chi(T)$  при  $P = 61.5$  ГПа с  $T_c = 7.55$  и 8.65 К на рис.2 является признаком двухфазного  $\omega + \beta$ -составления образца в этих условиях. Следующее измерение при  $P = 64.0$  ГПа показало резкий скачок  $\chi(T)$  в интервале шириной менее 0.5 К с  $T_c = 8.0$  К. Последнее значение значительно выше линейной зависимости  $dT_c(P)$  для  $\omega$ -Hf, что является признаком перехода Hf в новое однофазное состояние,  $\beta$ -фазу. Разрушение камеры не позволило изучить поведение  $T_c$  в области стабильности  $\beta$ -Hf.

**4. Заключение.** Структурные  $\alpha - \omega - \beta$  переходы в Hf сопровождаются изменениями  $T_c$ , которые подобны аналогичным изменениям  $T_c$  в Zr и сплавах Zr-Ti и Zr-Hf. В областях стабильности  $\alpha$ -и  $\omega$ -фаз Hf температуры сверхпроводящих переходов возрастают с давлением. Переход  $\alpha - \omega$ , по-видимому, сопровождается небольшим уменьшением  $T_c$ , а при  $\omega - \beta$  переходе величина  $T_c$  скачком возрастает от 5.8 до 8.0 К.

Работа выполнена при поддержке проекта Российского фонда фундаментальных исследований № 03-

02-17005 и Программы ОФН РАН “Теплофизика и механика интенсивных импульсных воздействий”.

1. E. Yu. Tonkov, *High Pressure Phase Transformations*, Vol. 2, Gordon and Breach, Philadelphia, 1992.
2. Y. K. Vohra and P. T. Spencer, Phys. Rev. Lett. **86**, 3068 (2001).
3. Y. Akahama, K. Nakano, S. Umemoto et al., Phys. Rev. Lett. **87**, 275503 (2001).
4. H. Xia, S. J. Duclous, A. L. Ruoff, and Y. K. Vohra, Phys. Rev. Lett. **64**, 204 (1990).
5. H. Xia, G. Parthasarathy, H. Luo et al., Phys. Rev. **B42**, 6736 (1990).
6. Y. Akahama, M. Kobayashi, and H. Kawamura, J. Phys. Soc. Japan **60**, 3211 (1991).
7. J. S. Gyanchandani, S. C. Gupta, S. K. Sikka, and R. Chidambaram, J. Phys.: Condens. Matter **2**, 6457 (1990).
8. R. Ahuja, J. M. Wills, B. Johansson, and O. Eriksson, Phys. Rev. **B48**, 16269 (1993).
9. S. A. Ostain and V. Yu. Trubitsin, Phys. Rev. **B57**, 13485 (1993).
10. Y. Akahama, M. Kobayashi, and H. Kawamura, J. Phys. Soc. Japan **59**, 3843 (1990).
11. I. O. Bashkin, V. G. Tissen, M. V. Nefedova et al., Письма в ЖЭТФ **73**, 80 (2001) [JETP Lett. **73**, 75 (2001)].
12. I. O. Bashkin, V. K. Fedotov, M. V. Nefedova et al., Phys. Rev. **B68**, 054401 (2003).
13. И. О. Башкин, М. В. Нефедова, Е. Г. Понятовский, В. Г. Тиссен, Письма в ЖЭТФ **78**, 91 (2003) [I. O. Bashkin, M. V. Nefedova, E. G. Poniatovsky, and V. G. Tissen, JETP Lett. **78**, 80 (2003)].
14. Е. М. Савицкий, Ю. В. Ефимов, Н. Д. Козлова и др., *Сверхпроводящие материалы*, М.: Металлургия, 1976.
15. В. Г. Тиссен, Е. Г. Понятовский, В. М. Кулаков и др., ПТЭ **5**, 175 (1986).